

УДК 539.194

ВЛИЯНИЕ КОЛЕБАТЕЛЬНОГО ВОЗБУЖДЕНИЯ МОЛЕКУЛЫ
 $H_2^+ (v=0)$ НА ЭФФЕКТИВНОСТЬ
 ДИССОЦИАТИВНОГО ВОЗБУЖДЕНИЯ H_α
 В СМЕСИ Ne—H₂

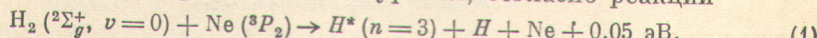
О. П. Бочкова и Л. А. Иванова

Показано, что процесс диссоциативного возбуждения H_α метастабильными атомами неона в смеси Ne—H₂ происходит значительно эффективнее, если водород колебательно возбужден. Эффективность реакции $H_2 (v, j) + Ne (^3P_2) \rightarrow H (n=3) + H + Ne^*$ определяется не дефектом энергии, а ходом потенциальных кривых пары $H_2 - Ne^*$. Сечение диссоциативного возбуждения H_α из состояния $H_2 (v=0) \sim 10^{-17} \text{ см}^2$, с более высоких колебательных уровней $v > 0$ сечение $> 6 \cdot 10^{-17} \text{ см}^2$.

Известно, что колебательно-возбужденные молекулы эффективнее вступают в химические реакции. При этом установлено, что компенсация колебательной энергии кинетической энергией не приводит к усилению реакции [1]. Коэн и Престон [2] произвели расчет для ионизации Пеннинга колебательно-возбужденного $H_2 (v=1)$ метастабильными атомами гелия. Наиболее чувствительными к колебательному возбуждению H_2 оказались каналы реакции, ведущие к образованию ассоциативных ионов HeH_2^+ и диссоциативной ионизации с выходом атомарных ионов водорода $H^+ + H + Ne + e^-$. Эффективность этих процессов возрастает на 2–3 порядка для водорода в состоянии $v=1$.

В настоящей работе показано, что колебательно-возбужденный водород эффективнее участвует в процессах возбуждения H_α метастабильными атомами неона. Исследования производились в послесвечении разряда постоянного тока в смеси Ne—H₂. Экспериментальная установка аналогична применяемой нами ранее [3]. Использовалась кварцевая разрядная трубка диаметром 30 мм и длиной 60 см. Длина рабочей части трубки 20 мм. Давление смеси Ne—H₂ изменялось от 0.25 до 3.5 тор, сила тока от 5 до 25 мА, концентрация водорода изменялась от 0.15 до 1%. Разряд обрывался прямоугольным импульсом длительностью 800–1000 мкс с крутизной фронта ~3 мкс и частотой повторения 240–290 Гц. Регистрация излучения осуществлялась ФЭУ-79 в режиме счета фотонов. Концентрация метастабильных атомов неона в состояниях 3P_0 и 3P_2 в послесвечении разряда определялась методом поглощения. В качестве источника света использовалась вторая разрядная трубка диаметром 10 мм.

В работах [4, 5] предполагалось, что диссоциативное возбуждение H_α в смеси Ne—H₂ происходит в результате диссоциации молекулы водорода из «0» колебательного состояния с одновременным возбуждением одного из атомов водорода до трехквантового уровня, согласно реакции



Избыток энергии в этой реакции составляет всего 0.05 эВ. Действительно, проведенные нами исследования характера высвечивания H_α и изменения концентрации метастабильных атомов неона в состоянии 3P_2 показали, что время высвечивания H_α и время жизни метастабильных атомов неона изменяются подобно с изменением условий возбуждения

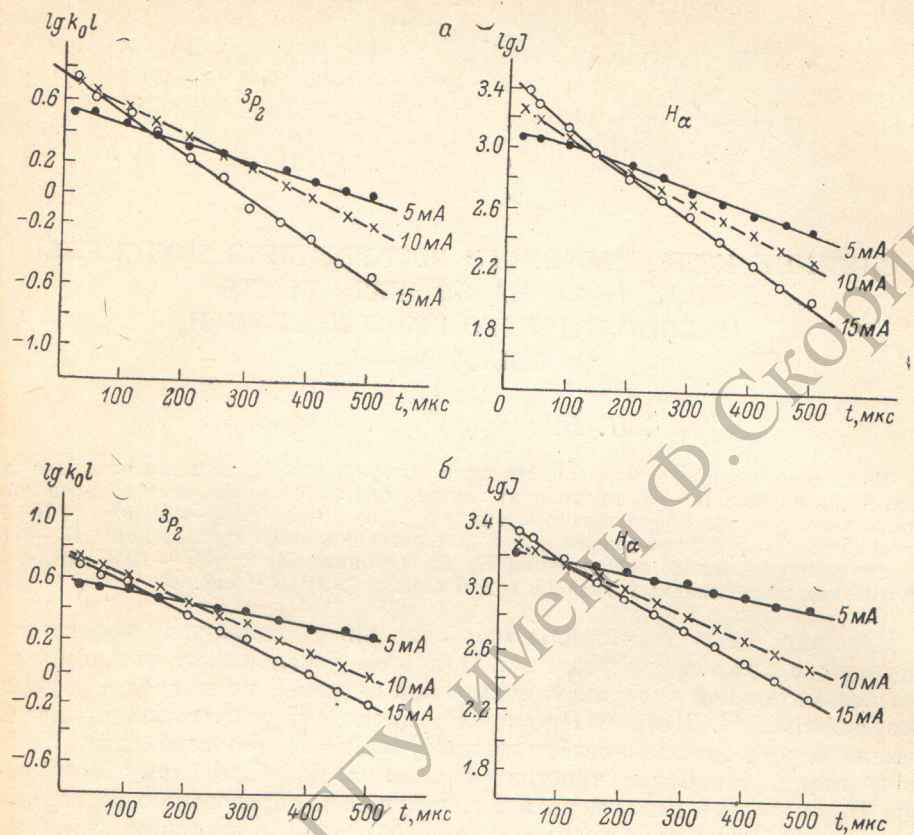


Рис. 1. Изменение заселенности 3P_2 -уровня Ne и яркости излучения H_α в послесвечении разряда в смеси Ne— H_2 .

а: $T = 300 \text{ K}$, $p = 1 \text{ тор}$, $N_{H_2} = 4.34 \cdot 10^{13} \text{ см}^{-3}$. б: $T = 300 \text{ K}$, $p = 2.3 \text{ тор}$, $N_{H_2} = 9.1 \cdot 10^{13} \text{ см}^{-3}$.

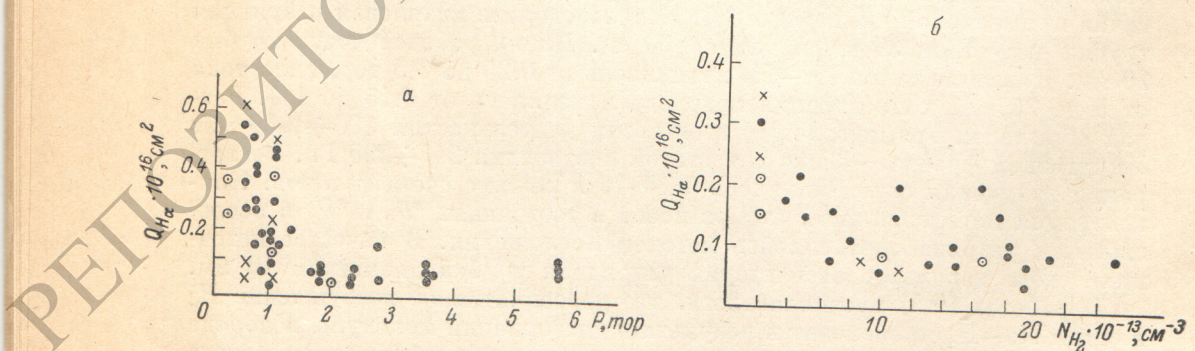


Рис. 2. Зависимость эффективности диссоциативного возбуждения H_α от давления смеси и концентрации H_2 .

а — изменение давления, разброс точек по вертикали соответствует изменению концентрации H_2 ; $T = 300 \text{ K}$. б — изменение концентрации H_2 ; $T = 300 \text{ K}$, $p = 1 \text{ тор}$. 1 — измерения без дополнительного объема, 2 — с дополнительным объемом, 3 — изменение направления разрядного тока.

(давление, сила тока, концентрации примеси водорода), рис. 1, а, б. Зная числа квант, излучаемых H_α , концентрацию метастабильных атомов неона, концентрацию молекул водорода и скорость относительного движения можно определить эффективное сечение диссоциативного возбуждения водорода в состояние $n=3$.

Результаты по измерению сечения $\sigma_d(H_\alpha)$ представлены на рис. 2. Оказалось, что эффективное сечение, определенное таким способом, зависит от условий эксперимента. Уменьшение концентрации водорода от 1 до 0.15%, уменьшение общего давления смеси от 3.5 до 0.25 тор и увеличение силы разрядного тока приводят к возрастанию эффективности возбуждения H_α .

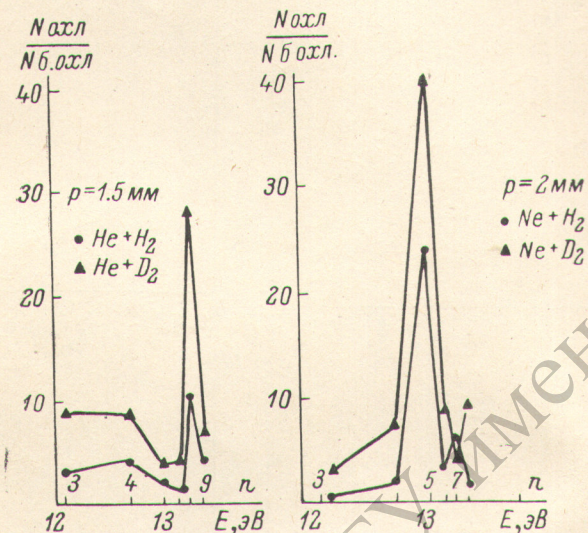


Рис. 3. Изменение диссоциативного возбуждения серии Бальмера в смесях $\text{He}-\text{H}_2$ (D_2) и $\text{Ne}-\text{H}_2$ (D_2) при 100 К.

Наблюдаемое изменение сечения возбуждения связано с изменением степени колебательного возбуждения молекулы H_2 .

В разряде колебательно-возбужденная молекула H_2 ($v=1, v=2$) может образоваться путем прямого электронного возбуждения через отрицательный ион H_2^- . Сечения прямого электронного возбуждения колебательных уровней водорода $v=1, v=2$ получены Шульцем [7] и составляют $\sigma_e(v=1) \sim 6 \cdot 10^{-17} \text{ см}^2$, $\sigma_e(v=2) \sim 1 \cdot 10^{-17} \text{ см}^2$, для более высоких колебательных состояний $\sigma_e(v>2) \sim 10^{-18} \text{ см}^2$. Поскольку колебательная релаксация в H_2 и смеси H_2 с инертными газами при $T=300$ К процесс очень медленный [8], концентрация таких молекул может быть велика. Стационарная концентрация колебательно-возбужденных молекул будет определяться условиями релаксации. Так можно ожидать, что уменьшение концентрации водорода и общего давления смеси уменьшит скорость колебательной релаксации и приведет к большему заселению колебательных уровней. В этих условиях наблюдается возрастание эффективности диссоциативного возбуждения H_α .

Известно также, что колебательная релаксация в D_2 происходит медленнее, чем в H_2 [8], и уменьшается с уменьшением температуры. В работе [3] наблюдалось возрастание диссоциативного возбуждения бальмеровской серии D в смесях $\text{He}-\text{D}_2$ и $\text{Ne}-\text{D}_2$ по сравнению с диссоциативным возбуждением бальмеровской серии водорода в смесях $\text{He}-\text{H}_2$ и $\text{Ne}-\text{H}_2$ при охлаждении стенок разрядной трубы до $T=100$ К (рис. 3). Кроме того, для проверки влияния колебательно-возбужденной молекулы водорода на диссоциативное возбуждение атомов H ($n=3$) в смесь $\text{He}-\text{H}_2$ добавлялось небольшое количество аргона ($4 \cdot 10^{-4} - 3 \cdot 10^{-3}$ тор).

Существование в разряде в смеси Ar—H₂ долгоживущих колебательно-возбужденных молекул водорода проверялось экспериментально в работе [9] методом поглощения в ВУФ. В смеси He—Ar—H₂ с увеличением концентрации аргона яркость излучения H_a возрастила. Результаты настоящей работы согласуются с выводами работы [2] об усилении диссоциативного канала в ионизации Пеннигга с колебательно-возбужденных состояний молекулы H₂. Поскольку диссоциативное возбуждение атомов конкурирует с процессом ассоциативной ионизации, полученные результаты можно рассматривать как подтверждение ранее высказанного

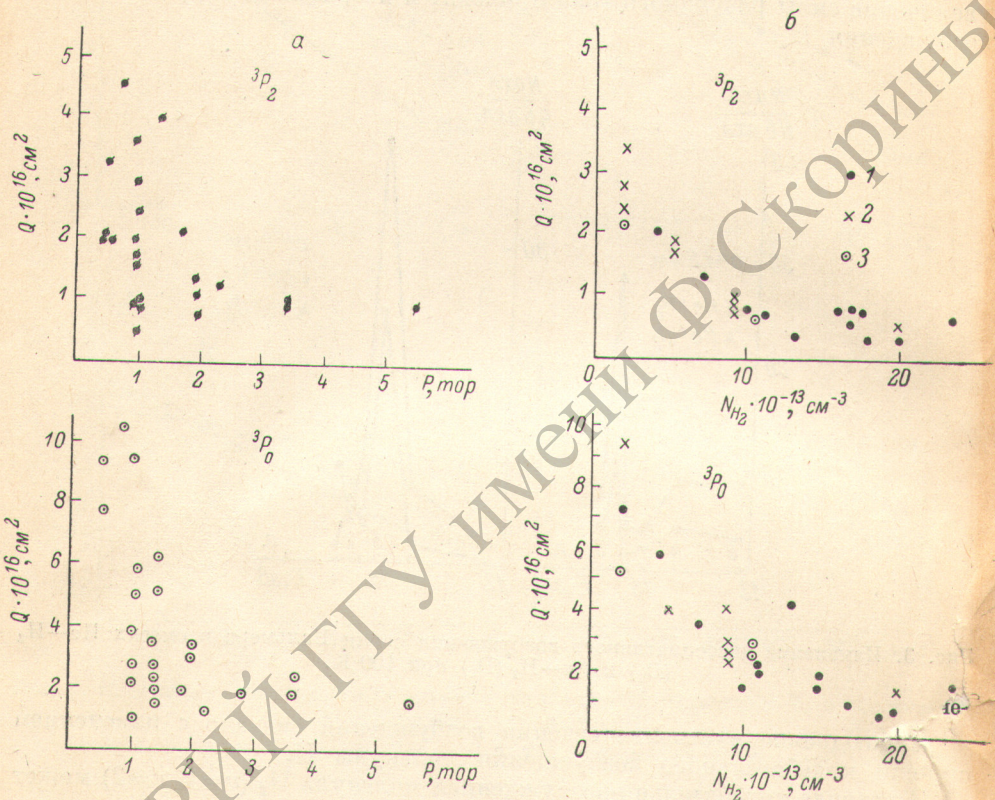
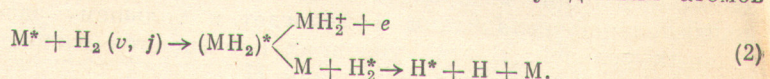


Рис. 4. Изменение сечения разрушения 3P_0 - и 3P_2 -уровней Ne молекулой водорода.
а — изменение общего давления смеси; $T=300$ К. б — изменение процентного содержания H₂; $T=300$ К, 1—3 — то же, что и на рис. 2.

предположения, что в процессе столкновений метастабильных атомов инертных газов с молекулой водорода образуется возбужденный комплекс (MH₂)*, который или автоионизуется, или предиссоциирует с образованием возбужденной молекулы H₂. В свою очередь, возбужденная молекула может диссоциировать с образованием возбужденных атомов



Наблюдаемый эффект усиления диссоциативного возбуждения водорода в состояние $n=3$ в смеси Ne—H₂ при наличии колебательно-возбужденной молекулы H₂ указывает, что эффективность процесса диссоциативного возбуждения обусловлена не дефектом энергии, а ходом потенциальных кривых взаимодействия системы H₂—Ne*. Вклад реакции (1) в заселение уровня H ($n=3$) значительно меньше, чем с колебательно-возбужденных уровней. Оценки настоящего эксперимента показывают, что сечение диссоциативного возбуждения H_a метастабильными атомами неона из нулевого колебательного состояния молекулы H₂X¹ Σ_g^+ ($v=0$) порядка

$\sigma_d \sim 10^{-17}$ см², а из состояний $H_2 X^1\Sigma_g^+(v > 0)$ значительно больше, $\sigma_a > 6 \cdot 10^{-17}$ см². Интересно сравнить полученные величины с сечением диссоциативного возбуждения H_a электронным ударом. По данным работы [6], оно не превышает $\sigma_{de} \sim 8 \cdot 10^{-19}$ см при энергии электронов 50—100 эВ.

Большое сечение диссоциативного возбуждения $H_a \sigma_d = 2.4 \cdot 10^{-16}$ см² [4], по-видимому, связано с высокой степенью колебательного возбуждения молекулы H_2 в высокочастотном разряде.

Усиление процессов диссоциации водорода должно сказаться на величине полного сечения разрушения метастабильных атомов инертных газов водородом. Как показали измерения [10], сечения разрушения метастабильных атомов гелия атомарным водородом на порядок превышают сечения разрушения молекулярным водородом. Изменение полного сечения разрушения метастабильных атомов неона в состояниях 3P_2 и 3P_0 с изменением условий возбуждения дано на рис. 4. Контрольными опытами было установлено, что наблюдаемое изменение сечения не связано с ошибками эксперимента. Для учета влияния электрофореза изменилось положение катода и анода в разрядной трубке. Ошибки, связанные с поглощением и выделением водорода стенками разрядной трубы, устранились присоединением к трубке дополнительного сосуда объемом 4 л. Минимальные значения сечений стремятся к $\sigma \sim 1 \cdot 10^{-16}$ см² для 3P_2 -уровня и $\sim 2 \cdot 10^{-16}$ см² для 3P_0 и соответствуют сечениям ионизации Пеннинга молекулы водорода с нулевого колебательного уровня. Различная степень колебательного возбуждения водорода в экспериментах разных авторов, по-видимому, может служить причиной разброса абсолютных значений эффективных сечений разрушения метастабильных состояний инертных газов.

Авторы выражают глубокую признательность С. Э. Фришу за постоянный интерес к работе и обсуждение результатов.

Литература

- [1] D. G. Truhla g. J. Chem. Phys., 56, 1481, 1972.
- [2] J. S. Cohen, R. K. Preston. X ICPEAC, abstr. of papers, 310, Paris, 1977.
- [3] C. Э. Фриш, О. П. Боякова. Опт. и спектр., 39, 1187, 1975.
- [4] K. С. Мустафин, Н. М. Хашимов. Опт. и спектр., 18, 141, 1965.
- [5] T. Marschall. J. Appl. Phys., 36, 712, 1965.
- [6] D. Heer, E. A. Vruum. J. Chem. Phys., 50, 58, 1969.
- [7] G. J. Schulz. Phys. Rev., 135, A, 988, 1969.
- [8] B. M. Hopkins, Hao Lin Chen. J. Chem. Phys., 57, 3161, 1972.
- [9] S. Takesawa, F. R. Innes, J. Tanaka. J. Chem. Phys., 45, 2000, 1966; 64, 4555, 1967.
- [10] J. S. Howard, J. P. Riola, R. D. Rundal, R. F. Stebbings. J. Phys. B., 6, L109, 1973.

Поступило в Редакцию 23 мая 1978 г.